

## تأثیر ناخالصی کیالت (Co) بر ویژگی‌های ساختاری و اپتیکی نانوکریستال‌های اکسید روی (ZnO) تهیه شده با روش همرسوبی

مجید فرهمند جو<sup>۱\*</sup>، فرشته اختری<sup>۲</sup>، محمد باقر مرامی<sup>۳</sup>

<sup>۱</sup> دانشیار گروه فیزیک، دانشکده علوم پایه، دانشگاه آزاد اسلامی، ورامین، ایران

<sup>۲</sup> گروه فیزیک، دانشکده علوم پایه، دانشگاه آزاد اسلامی تهران شمال، تهران، ایران

<sup>۳</sup> گروه فیزیک، دانشکده علوم پایه، دانشگاه آزاد اسلامی، پرند، ایران

\* farahmandjou@iauvaramin.ac.ir

### چکیده:

در این تحقیق نانوذرات خالص ZnO و آلیاژی Co-ZnO با درصد های ناخالصی ۵٪ و ۱۰٪ کیالت و با پیش ماده های جدید سولفات روی و کلرید کیالت در حضور پایدارسازهای NaBH<sub>4</sub> و CTAB با روش XRD، FESEM، EDX، TEM، FTIR و UV-DRS تهیه شدند. به منظور تعیین خواص بلوری، اپتیکی و موافل‌ویژگی از نمونه ها آنالیزهای همرسوبی ساخته شدند. نتایج این تجزیه نشان داد که ناخالصی خالص و به همراه ناخالصی دارای ساختار هگزاگونال هستند. همچنین نتایج پراش اشعه ایکس نشان داد که با افزایش ناخالصی Co از اندازه نانوذرات تا ۴۰nm برای حالت ۱۰٪ کاسته می شود. نتایج آنالیز FESEM حاکی از یکنواختی نانوذرات می باشد، بطوری که با افزایش ناخالصی کیالت از میزان یکنواختی آنها کاسته می شود. نتایج آنالیز عنصری EDX نشان داد که درصد وزنی Zn برای نمونه های ۰٪، ۵٪ و ۱۰٪ بترتیب برابر با ۱۱Wt%، ۷۹Wt% و ۷۶/۴Wt% می باشد که این کاهش، نشان دهنده ورود ناخالصی کیالت بصورت درون شبکه ای و جایگزینی آن با اتم های Zn می باشد. نتایج آنالیز TEM نشان دادند که نانوذرات با ناخالصی ۵٪ بصورت شبکه کروی در اندازه ۵۵nm تشکیل می شوند. نتایج آنالیز FTIR حاکی از قله جذب بسیار شدیدی در عدد موج ۵۵۰cm<sup>-۱</sup>، متعلق به بیوند ارتعاشی Zn-O و قله جذب ایجاد شده در عدد موج ۳۴۴۴cm<sup>-۱</sup> مربوط به فعالسازی رادیکال های OH می باشد که با افزودن ناخالصی مقادیر جذب آن افزایش می باید و درنتیجه باعث افزایش فعالیت فتوکاتالیستی در این نمونه می شود. آنالیز UV-DRS نشان داد که گاف نوار انرژی نمونه با افزایش ناخالصی کیالت، از ۲/۱۷eV برای نمونه خالص اکسید روی تا ۲/۱MeV در نمونه ای با ناخالصی ۱۰٪ بطور چشمگیری کاهش می باید.

### اطلاعات مقاله:

دريافت: ۱۶ مهر ۱۳۹۷

پذيرش: ۳ آذر ۱۳۹۷

### كلید واژه:

نانوذرات اکسید روی، ناخالصی کیالت، ساختار کریستالی، همرسوبی، ستز شیمیابی

در زمینه های صنعت و پژوهشی پیدا کردند [۱-۲۲].

نانوذرات اکسید روی (ZnO) یکی از مهمترین نیمسانا ها

است که در زمینه های قطعات اپتیکی، الکترونیکی و

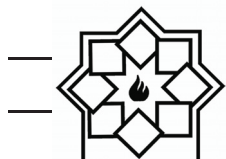
### ۱- مقدمه

امروزه ساخت نانوذرات اکسید فلزی کاربردهای فراوانی را



پیش‌ماده‌های استات روى و استات کبالت در حضور پایدارساز اتیلن گلیکل با درصد های متفاوت سنتز کردند و اندازه متوسط نانوذرات را در حدود ۲۲ نانومتر بدست آوردند. آنها بهترین درصد ناخالصی کبالت را ۸ درصد گزارش کردند [۳۳]. در تحقیقی دیگر باسیس و همکاران (۲۰۱۴)، نانوذرات اکسید روی آلائیده با اتم‌های کبالت با درصد های مختلف را با روش سریع احتراق به کمک مایکروویو با پیش‌ماده‌های نیترات روی و سولفات روی و همچنین اوره به عنوان سوخت، نانوذرات در بازه ۱۹ تا ۲۴ نانومتر که گاف نوار انرژی را تا  $2/88\text{eV}$  کاهش داد، تولید کردند [۳۴]. اخیرا گروه تحقیقاتی فرهمندجو و همکاران (۲۰۱۸)، نانوذرات Co-ZnO را با پیش‌ماده‌های نیترات روی و سولفات کبالت با درصد های متفاوت ۱ تا ۱۰ درصد کبالت [۳۵] و در روشی دیگر با پیش‌ماده‌های نیترات روی و کلرید کبالت با پیش‌ماده‌های متفاوت ۱ تا ۲۵ درصد کبالت در حضور پایدار ساز اتیلن گلیکل و رسوبگر سود با موفقیت با روش همرسوبی سنتز کردند و خواص کربیستالی، مورفولوژیکی و اپتیکی آنها را مورد بررسی قرار دادند [۳۶]. روش همرسوبی در مقایسه با سایر روش‌ها دارای سنتز آسان‌تر و از نظر اقتصادی به صرفه‌تر است، مهم‌تر آنکه غلظت پیش‌ماده‌ها، زمان واکنش آنها، دما و همگن بودن محصولات به دقت قابل کنترل است [۳۷]. در این کار تحقیقی نانوذرات خالص ZnO و آلیاژی Co/ZnO با درصد های مختلف کبالت با پیش‌ماده‌های جدید سولفات روی و کلرید کبالت در حضور پایدارسازهای  $\text{NaBH}_4$  و CTAB با روش همرسوبی برای اولین بار ساخته می‌شوند. هدف از انجام این پژوهش، یافتن درصد مناسبی از کبالت

سرامیک‌ها بیشترین کاربردها را به خود اختصاص داده است. اخیرا سنتز نانوذراتی متشكل از اکسیدهای فلزات واسطه، در سال‌های اخیر، علايق زیادی را به خود جلب کرده‌اند [۲۳-۲۵]. به تازگی نانوذرات ZnO توسط گروه ما با روش‌های شیمیایی در آزمایشگاه ساخته شده‌اند [۲۶-۲۷]. تحقیقات نشان می‌دهند که آلائیش اکسید روی با فلزات واسطه مورد توجه بیشتری قرار گرفته است، زیرا توسعه و بهبود ویژگی‌های الکتریکی، اپتیکی، ترمومغناطیسی آنها در دمای اتاق زمینه‌ی کاربری آنها را در آشکارسازها، سنسورهای با حساسیت بالا، تجهیزات اپتیکی و سلول‌های خورشیدی، مهیا تر می‌کند. اکسید روی یک نیمرسانای گروه II-VI با ساختار کربیستالی هگزاگونال ورتزایت و باند گاف پهن و مستقیم  $3/37\text{ eV}$  با انرژی بستگی اکسایتونی  $60\text{ MeV}$  در دمای اتاق است. گزارشات متعددی در زمینه‌ی دوب فلزاتی از قبیل Ni, Fe, Mn, Co درون ZnO منتشر شده است [۲۸-۳۰]. از بین فلزات واسطه کبالت کاندید بهتری برای آلائیش با این نانوذرات است، چرا که شعاع یونی  $\text{Co}^{2+}$  بسیار نزدیک به شعاع یونی  $\text{Zn}^{2+}$  است که باعث می‌شود یون‌های دوب شده درون ماتریس میزبان به طور همگن جایگزین شوند، بدون آنکه ساختار کربیستالی آن را تغییر دهد و یا فازهای ثانویه یا ساختار خوش‌ای تشکیل دهنند. همچنین با افزودن به درون ساختار ZnO، خواص اپتیکی، مغناطیسی و همچنین فتوکاتالیستی بهبود می‌یابد. روش‌های متعددی برای ساخت این نانوذرات از قبیل همرسوبی، سل ژل، هیدروترمال و ... گزارش شده است [۳۱-۳۲]. در تحقیقی، نائم و همکاران (۲۰۰۶)، نانوذرات Co:ZnO را با



طیف بازتاب/عبور پخشی (DRS) منتشر شده توسط دستگاه اندازه‌گیری اسپکترومتر Avantes Model AvaLamp DH-S Setup 2048-TEC انجام شد. اندازه‌گیری طیف عبور نوری در ناحیه طیفی مادون قرمز (FTIR) توسط دستگاه طیف سنجی تبدیل فوریه مادون قرمز مدل I Spectrum RX ساخت شرکت PerkinElmer ایالات متحده آمریکا به ثبت رسید. همچنین برای بررسی ساختار میکروسکوپی و یکنواختی نانوذرات از میکروسکوپ الکترونی روبشی انتشار MIRA3 شرکت TE-MEDIANI (FESEM) با دستگاه SCAN استفاده شده است.

### ۳- نتایج و بحث

شکل ۱A نتایج آنالیز XRD نمونه‌های خالص و نمونه‌های ۵٪ و ۱۰٪ ناخالصی Co را نشان می‌دهد. نمونه‌ها در دمای ۶۰۰°C برای مدت ۴ ساعت گرمادهی شدند. قله‌های بوجود آمده نشانگر ساختار هگزاگونال ZnO در نمونه‌ها می‌باشند. هیچ اثری از قله‌های ناخالصی ZnO در طیف اشعه X دیده نمی‌شود که این حاکی از نفوذ یون‌های Co در ماتریس ZnO می‌باشد. اندازه نانوکریستال‌ها با استفاده از رابطه شرور بدست می‌آید [۳۸]. نتایج منحنی ۱B، حاکی از آن است که با افزایش ناخالصی Co اندازه نانوکریستال‌ها از ۶۲ nm برای نمونه‌ی ZnO خالص به ۵۷ nm و ۴۰ nm بترتیب برای نمونه‌ها با ناخالصی‌های ۵٪ و ۱۰٪ کاهش می‌یابد. علت کاهش اندازه ذرات با افزایش ناخالصی Co، این است که چون شعاع یونی  $Zn^{+2}$  (۰.۵۸ Å<sup>۰</sup>) از شعاع یونی  $Co^{+2}$  (۰.۶ Å<sup>۰</sup>) کمتر است، یون اتم‌های Co در ماتریس Zn

است که بدون تغییر در ساختار بلوری اکسید روی، با کاهش اندازه نانوکریستال‌ها، باعث کاهش در گاف نواری و بهبود خواص اپتوالکترونیکی شود. همچنین تاثیر این دو نوع پایدارساز بر خواص مورفولوژیکی، بلوری و اندازه کریستالی آنها مورد بررسی قرار می‌گیرد.

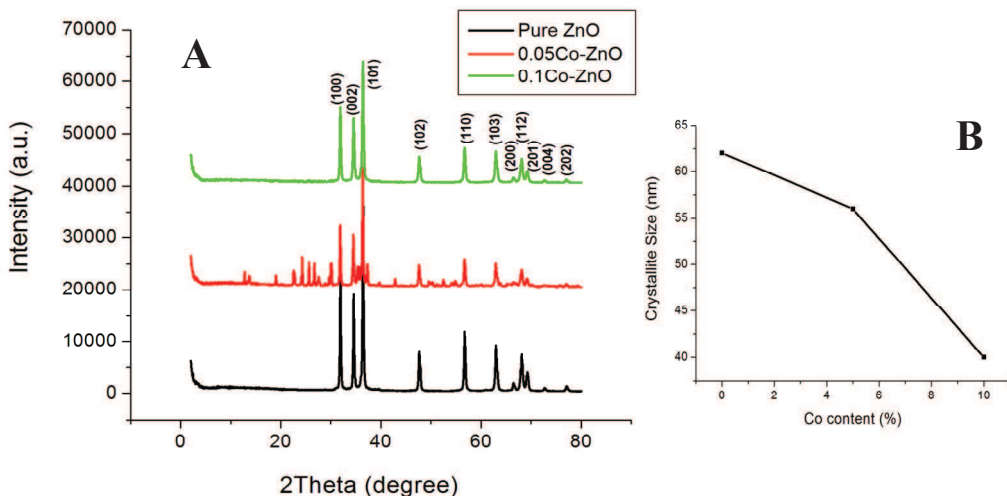
### ۲- فعالیت‌های تجربی

نانوذرات ZnO خالص و آلیاژی Co-doped ZnO با روش همروبوی ساخته شدند. برای ساخت نمونه خالص ابتدا، پیش ماده‌های سولفات روی و کلرید کбалت را در ۵۰ ml آب خالص بصورت ۱ مولار توسط همزن مغناطیسی در دمای اتاق حل شدند. پس از گذشت ۱۰ دقیقه، پایدارسازهای CTAB و NaBH<sub>4</sub> بصورت محلول در آب حل شدند و دمای محلول تا ۸۰°C افزایش داده شد و اجازه داده شد تا محلول به طور کامل خشک شود. پس از آن به منظور حذف ناخالصی‌ها، پودر نمونه‌های حاصل را چندین بار با آب و اتانول شستشو داده و در نهایت در آون در دمای ۱۰۰°C خشک شدند. برای ساخت نمونه ناخالص درصدهای مولی ۵٪ و ۱۰٪ از کбалت را به محلول روی اضافه کرده و مشابه روش ساخت نمونه خالص، پس از خالص سازی و خشک شدن نمونه‌های پودری در دمای ۶۰۰°C برای مدت ۴ ساعت تحت عملیات گرمایی قرار گرفتند. برای مطالعه نمونه‌ها، خواص ساختاری، اپتیکی و مورفولوژیکی نانوذرات مطالعه و بررسی قرار گرفتند. الگوهای XRD با استفاده از یک دستگاه پراش اشعه ایکس (XRD) مدل X'Pert PRO MPD PANalytical Company کشور هلند، با تابش K<sub>α</sub> مس (Cu) ثبت شد. اندازه‌گیری



سمت زوایای کمتر میل کرده‌اند و طبق رابطه پراش فاصله بین صفحات افزایش یافته است. همچنین با افزایش ناخالصی Co، ثابت‌های شبکه و همچنین حجم سلول واحد افزایش یافته که نشانگر ورود ناخالصی کبالت به درون شبکه‌ای و یا بین صفحه‌ای اکسید روی می‌باشد.

جایگزین شده و باعث کاهش اندازه نانوذرات می‌شود [۲۷]. همچنین در جدول ۱، اطلاعات پارامترهای شبکه و فاصله بین صفحات و زوایای پراش اشعه ایکس صفحات بلوری برای نمونه خالص و نمونه با درصدهای مختلف ناخالصی کبالت آورده شده است. همانطوریکه از جدول ۱ مشخص است، برای نمونه‌های ناخالص، زوایای پراش اشعه ایکس به



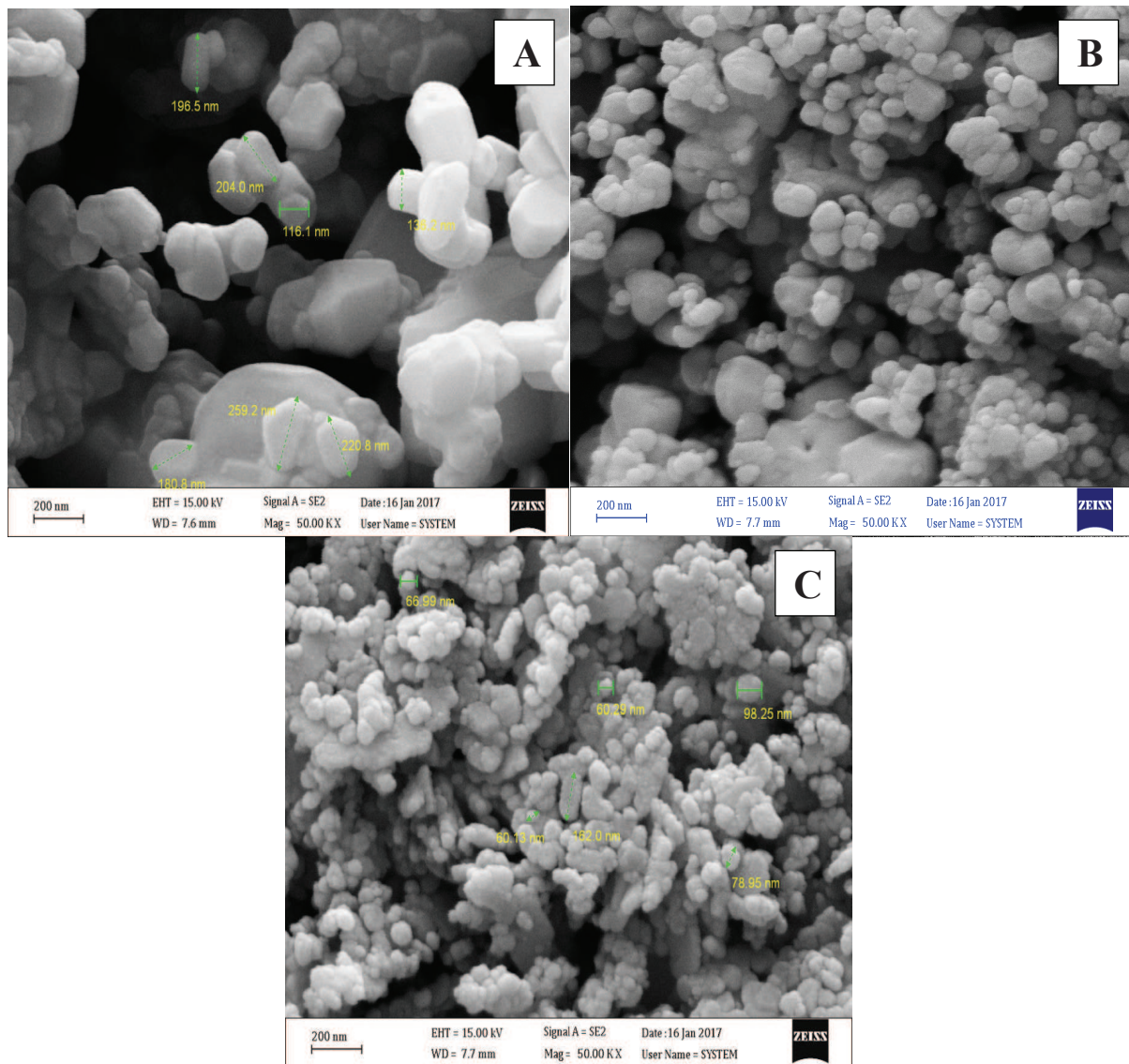
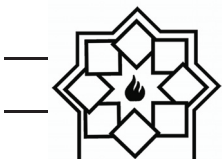
شکل ۱ - الگوهای XRD مریبوط به (A) ZnO خالص و به همراه ناخالصی (B) تغییرات اندازه ذره با درصد ناخالصی Co

جدول ۱ - زوایای پراش اشعه ایکس صفحات بلوری، فاصله بین صفحات و پارامترهای شبکه نمونه خالص و به همراه ناخالصی

V(Å <sup>3</sup> )	c(Å)	a=b(Å)	d(100) (Å)	2θ(100) (°)	d(002) (Å)	2θ(002) (°)	d(101) (Å)	2θ(101) (°)	درصد ناخالصی کبالت
۴۷/۰۷۴۹	۵/۱۸۷۲	۳/۲۳۷۲	۲/۸۰۳۰۵	۳۱/۹۰۱۱	۲/۵۹۳۲۸	۳۴/۵۵۹	۲/۴۶۷۲	۳۶/۳۸۴	۰٪
۴۹/۰۸۷۱	۵/۱۹۴۳۷	۳/۳۰۳۳۸	۲/۸۰۸۷۲	۳۱/۸۴۵	۲/۵۹۷۱۸	۳۴/۵۰۶	۲/۴۷۱۱۶	۳۶/۳۲۵	۵٪
۴۸/۹۳۴۲	۵/۱۸۹۳۰	۳/۲۹۹۸۴	۲/۸۰۴۸۲	۳۱/۸۸۰	۲/۵۹۴۵۲	۳۴/۵۴۱	۲/۴۶۸۷۰	۳۶/۳۶۲	۱۰٪

بیشتری برای نزدیک شدن به یکدیگر پیدا می‌کنند و این منجر به کلوخه‌ای شدن آنها می‌شود. اندازه میانگین محاسبه شده برای نانوذرات خالص ۶۲nm و برای نانوذرات ناخالص ۵% و ۱۰% بترتیب برابر با ۵۶nm و ۳۹nm می‌باشد. اندازه‌گیری شد که در توافق با گزارشات XRD می‌باشد.

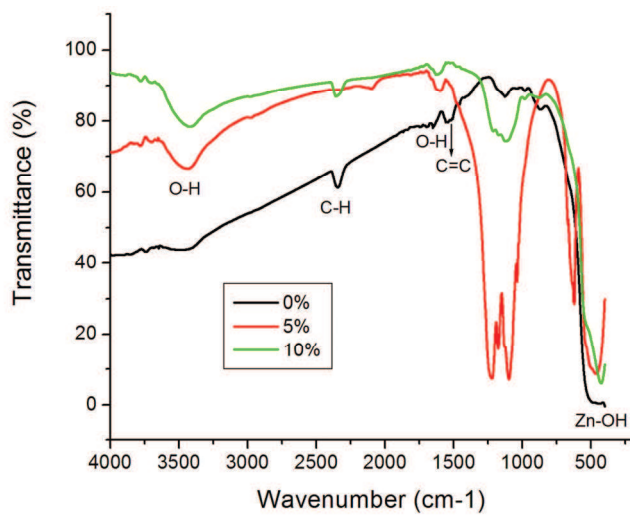
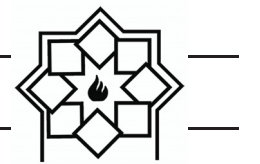
شکل ۲، مورفولوژی سطح و تصاویر FESEM نانوذرات خالص ZnO و ناخالص Co-ZnO با ناخالصی‌های ۵% و ۱۰% را نشان می‌دهد. همان‌گونه که از شکل مشخص است با اضافه کردن کبالت، اندازه نانوذرات کاهش می‌یابد. در حقیقت با کاهش اندازه، نیروهای بین اتمی و مولکولی و نیروی جاذبه افزایش می‌یابند و بنابراین نانوذرات تمایل



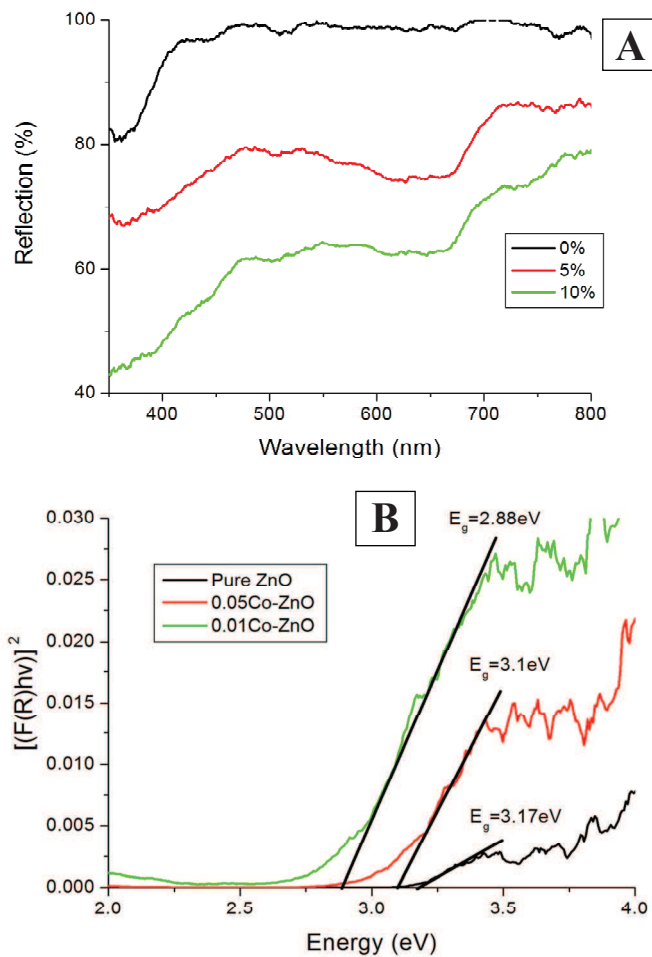
شکل ۲- تصاویر FESEM نانوذرات ZnO (A) خالص، (B) ناخالصی کبات ۵٪ و (C) ناخالصی کبات ۱۰٪

می باشد، بطوری که برای نمونه های خالص، ۵٪ و ۱۰٪، این قله جذب بترتیب در عدد موج های  $463, 434$  و  $427\text{ cm}^{-1}$  ظاهر می شوند. همانگونه که از شکل مشخص است در محدوده  $3424-3497\text{cm}^{-1}$ ، با افزایش ناخالصی Co مقدار جذب OH افزایش می یابد که حاکی از فعال شدن رادیکال های OH و افزایش فعالیت فتوکاتالیستی می باشد.

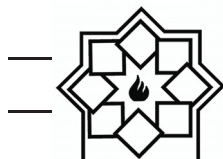
برای تعیین گروه های عاملی و پیوندهای ارتعاشی نمونه از آنالیز طیف عبوری مادون قرمز FTIR استفاده شد. شکل ۳، میزان عبور از نمونه ناخالص بر حسب عدد موج را نشان می دهد. مطابق شکل قله های ایجاد شده در عدد موج های O-H  $3424\text{cm}^{-1}$  و  $3434\text{cm}^{-1}$  مربوط به پیوند ارتعاشی Zn-OH  $537-434\text{cm}^{-1}$  مربوط به گروه عدد موج



شکل ۳- طیف مادون قرمز (FTIR) نمونه‌های نانوذرات خالص و ناخالص

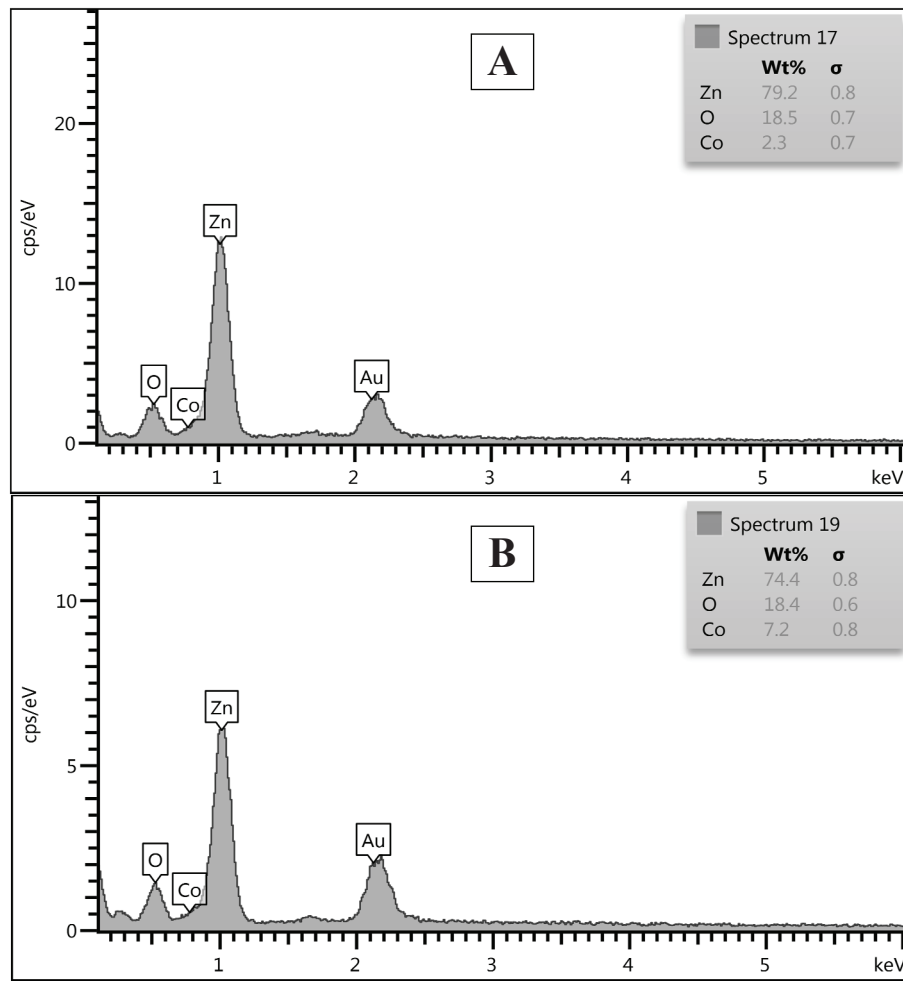


شکل ۴- (A) منحنی بازتاب نمونه با درصدهای مختلف ناخالصی Co (B) منحنی تائوک نمونه‌های ZnO خالص و ناخالصی



در نمونه را بدست می‌دهد [۴۰و ۳۹]. مطابق شکل B، نتایج نشان می‌دهند که با اضافه نمودن ناخالصی کبالت، گاف نواری انرژی کاهش می‌یابد، به طوری که برای نمونه‌ی خالص گاف نواری  $3/17\text{ eV}$  و برای نمونه‌ها با ناخالصی  $5\%$  و  $10\%$  مقدار گاف نواری بترتیب به  $3/1\text{ eV}$  و  $2/88\text{ eV}$  کاهش می‌یابد. عواملی نظیر نقص شبکه و تغییر در پارامترهای شبکه در اندازه گاف انرژی موثر است. همچنین محققان گزارش کردند که کاهش گاف نواری در نتیجه تبادل d-sp-d بین الکترون‌های نواری در ZnO و الکترون‌های d نوار ناخالصی  $\text{Co}^{2+}$  می‌باشد [۳۹].

شکل ۴A طیف انعکاسی UV-DRS برای نمونه‌های خالص و ناخالص را نشان می‌دهد. همانگونه که از شکل مشخص است، با افزایش ناخالصی، طول موج جذب  $\lambda_{\text{edge}}$  به سمت طول موج‌های بیشتر می‌کند که حاکی از ایجاد انتقال قرمز (red-shift) و کاهش گاف نواری در نمونه می‌باشد. به منظور محاسبه گاف نواری نمونه‌ها، منحنی تائوک F(R) بر حسب انرژی فوتون  $E(hv)$  رسم می‌شود که تابع کوبیک-مونک نامیده می‌شود و بصورت  $F(R) = (1-R)^2/2R$  تعریف می‌شود. بیشترین شب خط مماس بر منحنی و محل تلاقی آن با محور انرژی، میزان گاف نواری

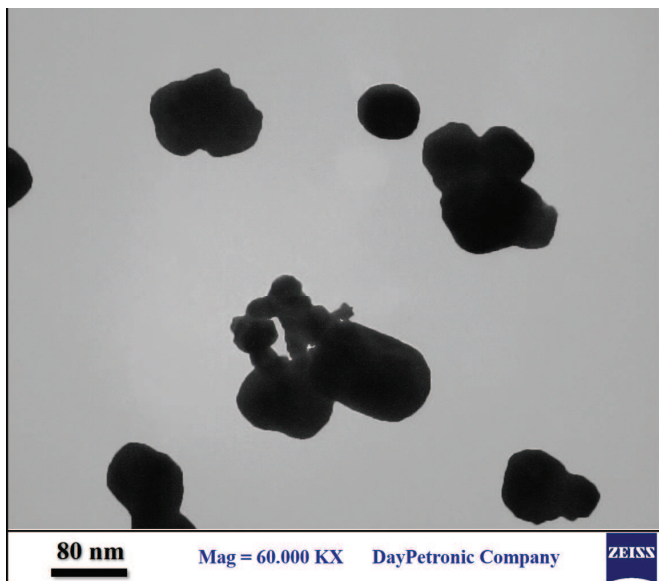


شکل ۵- آنالیز عنصری EDX نانوذرات ZnO با ناخالصی‌های (A) ۵٪ و (B) ۱۰٪.



برای تعیین اندازه دقیق و شکل ظاهری نانوذرات از آنالیز TEM استفاده شد. همانگونه که از شکل ۶ مشخص است نانوذرات با درصد ناخالصی کبالت ۵٪، بصورت کلوخه‌ای تشکیل شده‌اند که این ناشی از حذف پایدارسازها پس از گرمادهی در دمای  $600^{\circ}\text{C}$  می‌باشد. درحقیقت با حذف پایدارسازها، نیروی جاذبه بین اتمی نانوذرات افزایش یافته و باعث کلوخه‌ای شدن آنها می‌شود. همچنین مغناطیسی بودن نمونه تزدیک شدن نانوذرات به یکدیگر را شدت می‌بخشد. اندازه میانگین آنها  $55\text{nm}$  اندازه‌گیری می‌شود که در تطابق با اندازه‌گیری‌های انجام شده با آنالیز XRD می‌باشد.

به منظور تعیین درصد عنصری نمونه، آنالیز EDX انجام شد. شکل ۵، آنالیز EDX نمونه‌های ناخالص ۳ و ۱۰٪ را نشان می‌دهد. همانگونه که از شکل مشخص است، بجز اتم‌های Zn و O و Co عنصر دیگری وجود ندارد، که حاکی از خلوص نمونه می‌باشد. همچنین درصد وزنی کبالت برای نمونه‌های ۵٪ و ۱۰٪  $\frac{2}{3}\text{wt\%}$  و  $\frac{7}{2}\text{wt\%}$  بترتیب برابر با  $\frac{2}{3}\text{wt\%}$  و  $\frac{7}{2}\text{wt\%}$  می‌باشد که بدلیل آنالیز سطحی، کمتر از مقدار درصد مولی است. همچنین درصد وزنی Zn برای نمونه‌های ۰٪، ۵٪ و  $\frac{7}{4}\text{wt\%}$  و  $\frac{7}{9}\text{wt\%}$  بترتیب برابر با  $81\text{wt\%}$  و  $10\text{wt\%}$  می‌باشد که این کاهش، نشان دهنده ورود ناخالصی کبالت Zn بصورت درون شبکه‌ای و جایگزینی آن با اتم‌های Zn می‌باشد.



شکل ۶- تصویر TEM نانوذرات ZnO با ناخالصی ۵٪.

داد که ساختار نمونه بصورت هگزاگونال می‌باشد و با افزودن ناخالصی کبالت ساختار نمونه بدون تغییر ماند و نفوذ اتم‌های  $\text{Co}^{2+}$  درون ماتریس ZnO باعث شد تا اندازه آنها کاهش یابد. همچنین نتایج آنالیز TEM نشان داد که

#### ۴- نتیجه‌گیری

نانوذرات اکسید روی ZnO خالص و آلیاژی Co-ZnO با ناخالصی‌های متفاوت با روش همرسوبی با پیش ماده‌های جدید با موفقیت ساخته شدند. نتایج ساختاری XRD نشان



- nanoparticles through phase transition,” Iranian Journal of Physics Research, vol. 16, pp. 1-5, 2016.
- [6] M. Farahmandjou, and P. Khalili, “Morphology Study of anatase nano-TiO<sub>2</sub> for Self-cleaning Coating,” International of Journal of Fundamental Physical Sciences, vol. 3, pp. 54-56, 2013.
- [7] M. Farahmandjou, and M. Ramazani, “Fabrication and Characterization of Rutile TiO<sub>2</sub> Nanocrystals by Water Soluble Precursor,” Physical Chemistry Research, vol. 3, pp. 293-298, 2015.
- [8] S. Shadrokh, M. Farahmandjou, and T.P. Firoozabadi, “Fabrication and Characterization of Nanoporous Co Oxide (Co<sub>3</sub>O<sub>4</sub>) Prepared by Simple Sol-gel Synthesis,” Physical Chemistry Research, pp. 4, pp. 153-160, 2016.
- [9] M. Farahmandjou, S. Honarbakhsha and S. Behrouziniab, “PVP-Assisted Synthesis of Cobalt Ferrite (CoFe<sub>2</sub>O<sub>4</sub>) Nanorods,” Physical Chemistry Research, vol. 4, pp. 655-662, 2016.
- [10] M. Dastpak, M. Farahmandjou, and T.P. Firoozabadi, “Synthesis and Preparation of Magnetic Fe-Doped CeO<sub>2</sub> Nanoparticles Prepared by Simple Sol-Gel Method,” Journal of Superconductivity and Novel Magnetism, vol. 29, pp. 2925-2929, 2016.
- [11] M. Farahmandjou, “Synthesis of ITO Nanoparticles Prepared by Degradation of Sulfide Method,” Chinese Physics Letter, vol. 29, pp. 077306-077309, 2012.
- [12] M. Farahmandjou and N. Golabiyan, “Synthesis and characterization of Alumina (Al<sub>2</sub>O<sub>3</sub>) nanoparticles prepared by simple sol-gel method,” International Journal of Bio-Inorganic Hybrid Nanomaterials, vol. 5, pp. 73-77, 2016.
- [13] M. Farahmandjou, “Synthesis and Structural Study of L<sub>10</sub>-FePt nanoparticles,” Turkish Journal of Engineering and Environmental Sciences, vol. 34, pp. 265-270, 2014.
- [14] B. Khoshnevisan, M.B. Marami and M. Farahmandjou, “Fe<sup>3+</sup>-Doped

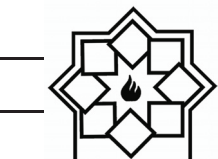
نانوذرات با ناخالصی ۵٪ بصورت شبیه کروی در اندازه ۵۵nm تشکیل می‌شوند. نتایج آنالیز FTIR نشان داد که قله جذب ایجاد شده در عدد موج ۳۴۳۴cm<sup>-۱</sup> مربوط به فعالسازی رادیکال‌های OH می‌باشد که با افرودن ناخالصی مقدار جذب آن افزایش می‌یابد. در نهایت، آنالیز اپتیکی UV-DRS نشان داد که طول موج جذب با وجود ناخالصی کمالت افزایش می‌یابد که منجر به ایجاد انتقال قرمز و کاهش گاف نواری تا ۲/۸۸eV در نمونه با ناخالصی ۱۰٪ شد که نسبت به نمونه‌های مشابه دارای کاهش بیشتری در گاف نوار انرژی می‌باشد. بهبود خواص اپتیکی نمونه‌های ساخته شده با این روش، این امکان را فراهم می‌سازد تا از آنها در ساخت ادوات اپتیکی و قطعات نیمرسانا استفاده شود.

## مراجع

- [1] S. Jurablu, M. Farahmandjou, and T.P. Firoozabadi, “Multiple-layered structure of obelisk-shaped crystalline nano-ZnO prepared by sol-gel route,” Journal of Theoretical and Applied Physics, vol. 9, pp. 261–266, 2015.
- [2] M. Farahmandjou, and F. Soflaee, “Polymer-Mediated Synthesis of Iron Oxide (Fe<sub>2</sub>O<sub>3</sub>) Nanorods,” Chinese Journal of Physics, vol. 53, pp. 080801-080809, 2015.
- [3] M. Farahmandjou and F. Soflaee, “Synthesis and characterization of α-Fe<sub>2</sub>O<sub>3</sub> nanoparticles by simple co-precipitation method,” Physical Chemistry Research, vol. 3, pp. 193-198, 2015.
- [4] M. Zarinkamar and M. Farahmandjou and T.P. Firoozabadi, “Diethylene Glycol-Mediated Synthesis of Nano-Sized Ceria (CeO<sub>2</sub>) Catalyst,” Journal of Nanostructures, vol. 6, pp. 114-118, 2016.
- [5] M. Farahmandjou, “Magnetocrystalline properties of Iron-Platinum (L<sub>10</sub>-FePt)



- [22] S. Jurablu, M. Farahmandjou, and T.P. Firoozabadi, "Multiple-layered structure of obelisk-shaped crystalline nano-ZnO prepared by sol-gel route," *Journal of Theoretical and Applied Physics*, vol. 9, pp. 261–266, 2015.
- [23] S. Doke, K. Sonawane, A. Banerjee and S. Mahamuni, "Evidence of various stabilizing mechanisms in ferromagnetic Co doped ZnO nanocrystals," *Journal of Alloys and Compounds*, Vol. 729, pp. 947-954, 2017.
- [24] E. Abdeltwab, and F.A. Taher, "Polar and nonpolar self-assembled Codoped ZnO thin films: structural and magnetic study," *Thin Solid Films*, vol. 636, pp. 200-206, 2017.
- [25] S. Jurablu, M. Farahmandjou and T.P. Firoozabadi, "Multiple-layered structure of obelisk-shaped crystalline nano-ZnO prepared by solgel route," *Journal of Theoretical and Applied Physics*, vol. 9, pp. 261-266, 2015.
- [26] S. Jurablu, M. Farahmandjou and T.P. Firoozabadi, "Sol-Gel Synthesis of Zinc Oxide (ZnO) Nanoparticles: Study of Structural and Optical Properties," *Journal of Sciences, Islamic Republic of Iran*, vol. 26, pp. 281-285, 2015.
- [27] Z.H. Wu, H.Q. Xie and Y.B. Zhai, "Preparation and thermoelectric properties of Co-doped ZnO synthesized by sol-gel," *Journal of Nano Nanotechnology*, vol. 15, pp. 3147-3150, 2015.
- [28] D. Sharma, and R. Jha, "Structural and optical properties of Co-doped ZnO nano-ampoules synthesized by co-precipitation method," *Material Letters*, vol. 190, pp. 9-12, 2017.
- [29] V. Strelchuk, O. Kolomys and S. Rarata, "Raman submicron spatial mapping of individual Mn-doped ZnO nanorods," *Nanoscale Research Letters*, vol. 12, pp. 351-356, 2017.
- [30] J. Chauhan, N. Shrivastav, A. Dugaya, D. Pandey and J. Nanomed, "Synthesis and characterization of Ni and Cu doped Anatase TiO<sub>2</sub> Study Prepared by New Sol-Gel Precursors. *Chinese Physics Letters*, vol. 35, pp. 027501-027505, 2018.
- [15] M.B. Marami, B. Khoshnevisan and M. Farahmandjou, "Solgel Synthesis of Fe-doped TiO<sub>2</sub> Nanocrystals," *Journal of electronic Materials*, vol. 47, pp. 3741-3749, 2018.
- [16] Jafari, S. Khademi, M. Farahmandjou, "Nano-crystalline Ce-doped TiO<sub>2</sub> Powders: Sol-gel Synthesis and Optoelectronic Properties," *Material Research Express*, vol. 5, pp. 095008-095017, 2018.
- [17] M. Farahmandjou, S. Honarbakhsh, and S. Behrouzinia, "FeCo Nanorods Preparation Using New Chemical Synthesis," *Journal of Superconductivity and Novel Magnetism*, vol. 31, pp. 4147–4152, 2018.
- [18] M. Farahmandjou, and P. Khalili, "Study of Nano SiO<sub>2</sub>/TiO<sub>2</sub> Superhydrophobic Self-Cleaning Surface Produced by Sol-Gel," *Australian Journal of Basic and Applied Sciences*, vol. 7, pp. 462-465, 2013.
- [19] M. Farahmandjou, and M. Dastpak, "Fe-Loaded CeO<sub>2</sub> Nanosized Prepared by Simple Co-Precipitation Route," *Physical Chemistry Research*, vol. 6, pp. 713-720, 2018.
- [20] M. Farahamndjou, "The study of electro-optical properties of nanocomposite ITO thin films prepared by e-beam evaporation," *Revista Mexica de Física*, vol. 59, pp. 205-207, 2013.
- [21] Khodadadi, M. Farahmandjou and M. Yaghoubi, "Investigation on synthesis and characterization of Fe-doped Al<sub>2</sub>O<sub>3</sub> nanocrystals by new sol-gel precursors", *Material Research Express*, vol. 6, pp. 025029-025038, 2019.



- "Synthesis and characterization of pure and doped ZnO nanoparticles," Journal of Optoelectronic and Advanced Materials, vol. 12, pp. 257-261, 2010.
- [38] P. Scherrer, "Bestimmung der Grossen und der Inneren Struktur von Kolloideinheiten Mittels Rontgenstrahlen, Nachrichten von der Gesellschaft der Wissenschaften," Gottingen. Mathematisch-Physikalische Klasse, vol. 2, pp. 98-100, 1918.
- [39] R. D. Shannon, "Revised effective ionic radii and systematic studies of interatomic distances in halides and chalcogenides," Acta Crystallogr A, vol. 32, pp. 751-767, 1976.
- [40] M. Farahmandjou and N. Golabiyan, "Solution combustion preparation of nano-Al<sub>2</sub>O<sub>3</sub>: synthesis and characterization", Transp. Phenom. Nano. Micro. Scales, vol. 3, pp. 100-105, 2015.
- ZnO," Nanotechnology, vol. 8, pp. 1000429-1000436, 2017.
- [31] M.F. Khouzani, Z. Fereshteh, M.R. Loghman-Estarki, and R.S. Razavi, "Different morphologies of ZnO nanostructures via polymeric complex sol-gel method: synthesis and characterization," Journal of Sol-Gel Science and Technology, vol. 64, pp.193-199, 2012.
- [32] S. A. Ansari, A. Nisar, B. Fatma, W. Khan, and A.H. Naqvi, "Investigation on structural, optical and dielectric properties of Co doped ZnO nanoparticles synthesized by gel-combustion route," Material Science Engineering B, vol. 177, pp. 428-435, 2012.
- [33] M. Naeem, S.K. Hasanain, M. Kobayashi, Y. Ishida, A. Fujimori, S. Buzby and S.I. Shah, "Effect of reducing atmosphere on the magnetism of Zn<sub>1-x</sub>Co<sub>x</sub>O ( $0 \leq x \leq 0.10$ ) nanoparticles, Nanotechnology, vol. 17, pp. 2675-2680, 2016.
- [34] N. M. Basith, J. Judith Vijaya, L. John Kennedy, M. Bououdina, S. Jenefar, and V. Kaviyarasan, "Co-Doped ZnO Nanoparticles: Structural, Morphological, Optical, Magnetic and Antibacterial Studies", Journal of Materials Science & Technology, vol. 30, pp. 1108-1117, 2014.
- [35] F. Akhtari, S. Zorriastein, M. Farahmandjou, and S.M. Elahi, "Structural, optical, thermoelectrical, and magnetic study of Zn<sub>1-x</sub>Co<sub>x</sub>O ( $0 \leq x \leq 0.10$ ) nanocrystals," International Journal of Applied Ceramic Technology, vol. 15, pp. 723-733, 2018.
- [36] F. Akhtari, S. Zorriastein, M. Farahmandjou, and S.M. Elahi, "Synthesis and optical properties of Co<sup>2+</sup>-doped ZnO Network prepared by new precursors," Material Research Express, vol. 5, pp. 065015-065024, 2018.
- [37] S. B. Rana, P. Singh, A. K. Sharma, and H. A. W. Carbonari, Dogra AR,